

Туннельные характеристики двухбарьерного магнитного наноконтакта

© Н.Х. Усеинов

Казанский (Приволжский) федеральный университет,
Казань, Россия

E-mail: nuseinov@mail.ru

(Поступила в Редакцию 7 августа 2012 г.)

На основе квазиклассической модели рассчитывается спин-поляризованный ток через планарный двухбарьерный магнитный туннельный наноконтакт. В рамках квантовой теории рассчитываются коэффициенты прохождения электронов через барьеры. Показаны зависимости коэффициентов прохождения, спин-поляризованных токов и туннельного магнитосопротивления от приложенного напряжения в условиях резонанса. В нерезонансных условиях туннельное магнитосопротивление сравнивается с экспериментальными данными.

Работа поддержана Министерством науки и образования РФ, а также грантом РФФИ № 10-02-91225-СТ_а.

1. Введение

В настоящее время большое внимание уделяется изучению магниторезистивных характеристик двухбарьерных магнитных туннельных наноконтактов [1–6], в частности физике возникновения спиновой поляризации электронного транспорта и резонансного туннельного магнитосопротивления (ТМС) при комнатных температурах. Двухбарьерный магнитный туннельный контакт (ДБМТК) состоит из трех ферромагнетиков (FM) (это могут быть ферромагнитные металлы Fe, Co, Ni и их сплавы FeCoB, FeNi), разделенных изоляторами (I) наномасштабного размера. Обычно это оксиды AlO_x или MgO. Повышенное внимание связано с большими прикладными возможностями ДБМТК, например, при создании спиновых фильтров тока [7], резонансных туннельных диодов [8–10], нестираемой оперативной магнитной памяти (MRAM) [9,11,12] и т.п.

На основе накопленного опыта работы с устройствами, использующими спиновую поляризацию электронного транспорта, исследователи пришли к выводу, что с ухудшением качества интерфейса ТМС убывает. Это было неоднократно подтверждено экспериментально. Для решения проблемы увеличения ТМС с одновременным уменьшением сопротивления было предложено использовать в качестве туннельного контакта систему с двумя [13–16] или тремя [17] барьерами, между которыми должны быть расположены тонкие ферромагнитные металлические слои. Тогда движение электронов в этих средних ферромагнитных слоях квантовано, причем положение квантовых уровней связано с направлениями спина электрона проводимости. В этом случае, как было показано в работах [13,15], туннельный ток и туннельное магнитосопротивление имеют резонансные зависимости, вид которых меняется при изменении толщины слоя.

Если приложить напряжение к ДБМТК $FM^L/I_1/FM^W/I_2/FM^R$ (где FM^L — левый, FM^R — правый внешний ферромагнитный электрод, FM^W — средний слой с меньшей относительно FM^L и FM^R коэрцитивностью,

$I_{1(2)}$ — изоляторы толщиной несколько ангстрем), то в контакте возникает спин-поляризованный ток. Этот ток обусловлен квантовым туннелированием через барьеры. Он очень мал и экспоненциально спадает с ростом толщины изоляторов. Однако слой FM^W можно представить как квантовую яму. Тогда движение электрона в FM^W -слое квантовано. При некоторых параметрах барьеров $I_{1(2)}$ и слоя FM^W создаются резонансные условия. Туннельный спин-поляризованный ток будет резко возрастать при некоторых значениях приложенного напряжения. Предположим, что направление намагниченности FM^W -слоя может легко (например, в случае магнитомягкого сплава) изменяться, принимая параллельные (P) или антипараллельные (AP) ориентации относительно направлений намагниченностей FM^L - и FM^R -электродов. Теперь если внешним магнитным полем перевести систему из состояния с P-ориентацией намагниченностей слоев FM^L , FM^R и FM^W в состояние с AP-ориентацией, то проводимость контакта при фиксированном падении напряжения изменится. Относительное изменение тока может достигать 1000% даже при комнатных температурах [5]. Таким образом, при P-ориентации намагниченностей слоев электрон с одним из направлений спина туннелирует резонансным образом, в то время как при AP-ориентации положения резонансных уровней в металлических слоях не совпадают и туннельный ток уже не имеет резонансного характера. Реализация подобного устройства может быть осуществлена только в случае почти идеальной поверхности раздела ферромагнетика и изолятора.

Цель настоящей работы — вычислить резонансные туннельные характеристики ДБМТК, используя квантово-механические представления при расчете коэффициентов прохождения туннельных барьеров [18] и квазиклассическое представление [19] при выводе спин-поляризованного туннельного тока вне зависимости от значений температуры; изучить влияние угла подлета электрона к границе FM/I и влияние поляризации спиновых подзон проводимостей FM-слоев на зависимость

коэффициента прохождения от приложенного напряжения; вычислить ТМС как функцию параметров слоев ДБМТК и сравнить его с известными экспериментальными данными. Туннелирование электронов со спином вверх и со спином вниз анализируется на основе модели каналов проводимости [20], когда электроны, находящиеся в некотором спиновом состоянии левой спиновой подзоны FM^L , могут туннелировать на пустые состояния правой спиновой подзоны FM^R . Предполагается, что во время туннельного процесса и резонанса направление спина электрона проводимости сохраняется.

2. Решение уравнения Шредингера для двухбарьерного магнитного туннельного наноконтакта с учетом падения напряжения на каждом барьере

В случае приложения электрического поля к структуре типа сэндвича $FM^L/I_1/FM^W/I_2/FM^R$ энергетический потенциальный рельеф можно схематически представить в виде, показанном на рис. 1. Соответствующее аналитическое выражение системы потенциалов с учетом падения напряжения на каждом барьере можно представить в виде

$$\begin{aligned}
 U(z) = & \left(E_F + U_1 - \frac{eV_{a1}z}{L_1} \right) \theta(z) \theta(L_1 - z) - eV_{a1} \\
 & \times \theta(z - L_1) + \left(E_F + U_2 - \frac{eV_{a2}(z - (L_1 + W))}{L_2} \right) \\
 & \times \theta(z - (L_1 + W)) \theta((L_1 + W + L_2) - z) \\
 & - eV_{a2} \theta(z - (L_1 + W + L_2)). \quad (1)
 \end{aligned}$$

Здесь $\theta(z - Z_i)$ обозначают единичные функции Хевисайда, где Z_i — соответствующие величины, включающие толщину первого барьера L_1 , толщину второго барьера L_2 и толщину среднего ферромагнитного слоя W ; U_1 и U_2 — высоты барьеров над уровнем Ферми E_F ; V_{a1} , V_{a2} — падение напряжений на первом и втором барьерах соответственно.

Рассмотрим одномерное движение электрона через систему потенциалов (1). Поскольку потенциальная энергия системы не зависит от времени, состояния движения электрона проводимости могут быть найдены из решения уравнения Шредингера

$$-\frac{\hbar^2}{2m_l} \frac{d^2}{dz^2} \psi_{l,s} + (U(z) - E_{F,s}^l) \psi_{l,s} = 0, \quad (2)$$

где $E_{F,s}^l$ — фермиевская энергия электрона в l -м ферромагнитном слое (электроде) с учетом обменной энергии, m_l — эффективные массы электронов в пяти областях l . Индекс l обозначает области решения уравнения (2), т.е. пробегает значения от $l = L$ для левого электрода

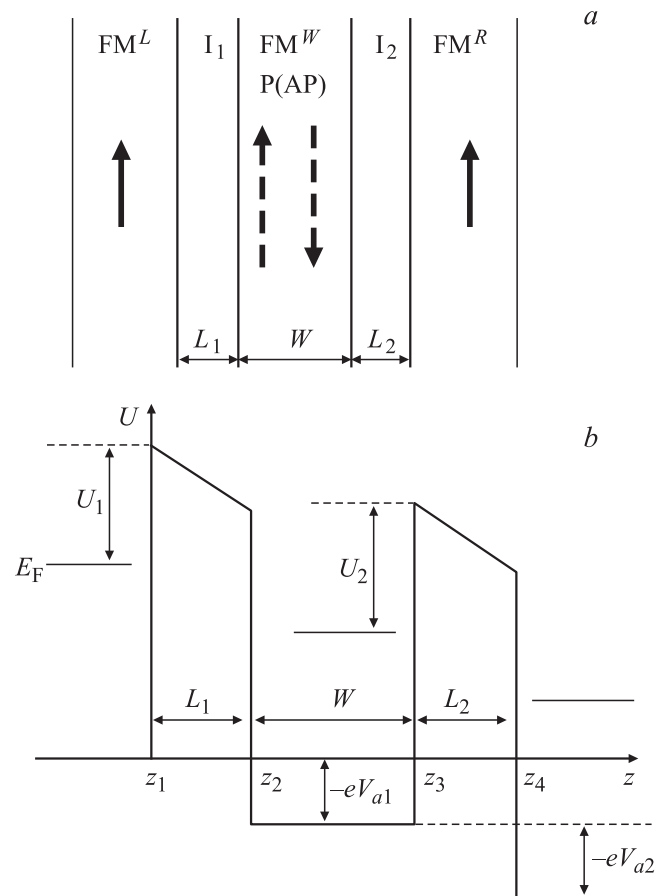


Рис. 1. *a)* Схематическое изображение поперечного сечения двухбарьерного магнитного туннельного наноконтакта $FM^L/I_1/FM^W/I_2/FM^R$. Левый и правый ферромагнитные слои являются электродами контакта. Стрелки показывают намагниченность электродов и среднего ферромагнитного слоя при параллельной и антипараллельной ориентации. *b)* Схематическое изображение энергетического потенциального профиля с учетом приложенного напряжения. L_1 — толщина первого барьера, L_2 — толщина второго барьера, W — толщина ферромагнитного слоя, U_1 и U_2 — высоты барьеров над уровнем Ферми, V_{a1} , V_{a2} — падение напряжений на первом и втором барьерах соответственно.

до $l = R$ для правого электрода, $l = 1, 2$ соответствуют барьерам, а $l = W$ — центральному FM-слою (рис. 1). Индекс $s = \uparrow, \downarrow$ обозначает спиновое состояние электронов в ферромагнетиках: стрелка вверх — спиновую подзону большинства электронов, стрелка вниз — спиновую подзону меньшинства электронов. Кроме того, индекс $s = \uparrow, \downarrow$ обозначает спиновое состояние электрона в спиновых каналах проводимости, которых всего четыре. При P-ориентации намагниченности левого, правого ферромагнитных электродов ($l = L, R$) и межбарьерного слоя ($l = W$) электрон движется по следующим спиновым подзонам: $s = \uparrow (\downarrow)$, $s' = \uparrow (\downarrow)$, $s = \uparrow (\downarrow)$ — два спиновых канала проводимости. При AP-ориентации намагниченности FM-слоев электрон движется по спиновым подзонам $s = \uparrow (\downarrow)$, $s' = \downarrow (\uparrow)$, $s = \uparrow (\downarrow)$ — еще два

спиновых канала. Спиновый индекс со штрихом, относящийся к спиновой подзоне среднего слоя, в АР-случае не совпадает со спиновым индексом электрона.

Далее будем полагать, что в ферромагнитных областях ($l = L, W, R$) электроны проводимости находятся в почти свободных состояниях. Тогда волновые функции, описывающие движения электронов в этих областях: $z < z_1$, $z_2 < z < z_3$, $z > z_4$ (рис. 1, *b*), могут быть представлены формулой

$$\psi_{l,s} = A_{l,s} \exp(ik_{l,s}^{\perp} z) + B_{l,s} \exp(-ik_{l,s}^{\perp} z). \quad (3)$$

Здесь $k_{l,s}^{\perp}$ — перпендикулярные барьерам компоненты волновых векторов, $A_{l,s}$ ($B_{l,s}$) — амплитуды вероятности прохождения электроном очередной ферромагнитной области (отражения электрона). В каждом ферромагнитном слое ($l = L, W, R$) перпендикулярные компоненты волновых векторов имеют вид

$$k_{L,s}^{\perp} = k_{F,s}^L \cos \theta_{L,s}, \quad k_{W,s}^{\perp} = k_{F,s}^W(V_{a1}) \cos \theta_{W,s}, \\ k_{R,s}^{\perp} = k_{F,s}^R(V_{a2}) \cos \theta_{R,s}, \quad (4)$$

где углы $\theta_{l,s}$ задают направление движения электрона в некоторой плоскости, проходящей через ось z и перпендикулярной слоям. Значения фермиевских волновых векторов с учетом падения напряжения на каждом из барьеров определяются формулами

$$k_{F,s}^L = \sqrt{\frac{2m_L}{\hbar^2} E_{F,s}^L}, \quad k_{F,s}^W(V_{a1}) = \sqrt{\frac{2m_W}{\hbar^2} (E_{F,s}^L + eV_{a1})}, \\ k_{F,s}^R(V_{a2}) = \sqrt{\frac{2m_R}{\hbar^2} (E_{F,s}^L + eV_{a2})}. \quad (5)$$

Параллельные интерфейсам компоненты волновых векторов на основании закона сохранения импульса удовлетворяют уравнению

$$k_{L,s}^{\parallel} = k_{F,s}^L \sin \theta_{L,s} = k_{F,s}^W(V_{a1}) \sin \theta_{W,s} = k_{F,s}^R(V_{a2}) \sin \theta_{R,s}. \quad (6)$$

Используя (6), можно выразить косинусы $\cos \theta_{W,s}$, $\cos \theta_{R,s}$, входящие в (4) через косинус угла падения электрона на первый барьер в левом электроде $\theta_{L,s}$:

$$\cos \theta_{W,s} = \sqrt{1 - \delta_{LW}^2 (1 - \cos^2 \theta_{L,s})}, \\ \cos \theta_{R,s} = \sqrt{1 - \delta_{LR}^2 (1 - \cos^2 \theta_{L,s})}, \quad (7)$$

где δ_{LW} , δ_{LR} — параметры спиновой асимметрии каналов проводимости для первого и второго барьеров соответственно. Уравнения (7) определяют величину критического угла $\theta_{L,s}$, когда еще возможно туннелирование электрона с данным спином.

В интервалах $z_1 < z < z_2$ и $z_3 < z < z_4$ обозначим эти области индексом $l = b = 1, 2$, сделав замену переменной z соответственно на

$$\xi_{1,s} = \left(z + \frac{E_{F,s}^L - (E_F + U_1)}{eV_{a1}} L_1 \right) \left(\frac{2m_1 eV_{a1}}{\hbar^2 L_1} \right)^{1/3}, \quad (8)$$

$$\xi_{2,s} = \left(z + \frac{E_{F,s}^W - (E_F + U_2)}{eV_{a2}} L_2 + L_2 - L_1 - W \right) \\ \times \left(\frac{2m_2 eV_{a2}}{\hbar^2 L_2} \right)^{1/3}, \quad (9)$$

где $m_{1(2)}$ — эффективные массы электронов проводимости в барьерах, уравнение Шредингера (2) можно привести к виду

$$\frac{d^2}{d\xi_b^2} \psi_b(\xi_b) + \xi_b \psi_b(\xi_b) = 0. \quad (10)$$

Здесь для простоты спиновый индекс опущен. Общее решение этого уравнения имеет вид

$$\psi_b(\xi_b) = \text{Ai} \left(\sqrt[3]{-1} \xi_b \right) c_{1,b} + \text{Bi} \left(\sqrt[3]{-1} \xi_b \right) c_{2,b}, \quad (11)$$

где $\text{Ai}(\xi_b)$ и $\text{Bi}(\xi_b)$ — функции Эйри первого и второго рода соответственно, $c_{1,b}$ и $c_{2,b}$ — коэффициенты, которые должны быть найдены из граничных условий.

Используя волновые функции (3), (11), можно получить коэффициент прохождения ДБМТК и построить его функциональную зависимость от напряжения.

3. Коэффициент прохождения ДБМТК с приложенным напряжением

Для того чтобы представить коэффициент прохождения $D_s^{\text{P(AP)}}$ как функцию параметров ДБМТК и приложенного напряжения, необходимо найти отношение прошедшего потока $j_{R,s}$ в правом FM^R -электроде к падающему потоку $j_{L,s}$ в левом FM^L -электроде. Тогда из определения плотности потока вероятности следует, что если амплитуда вероятности падающего потока в области FM^L равна единице, а в области FM^R существует только прошедшая волна, то коэффициент прохождения электрона проводимости ДБМТК для двух направлений спина ($s = \uparrow, \downarrow$) и двух направлений намагниченности в FM-слоях может быть записан в виде

$$D_s^{\text{P(AP)}} = \frac{m_L k_{R,s}^{\perp}}{m_R k_{L,s}^{\perp}} (A_s^{\text{P(AP)}} A_s^{\text{P(AP)*}}), \quad (12)$$

где $A_s^{\text{P(AP)}}$ — амплитуда вероятности прошедшего электрона с данным направлением спина.

Выражение для амплитуды вероятности $A_s^{\text{P(AP)}}$ в наиболее общем виде получается из решения системы линейных уравнений. Эта система была составлена и решена нами в аналитическом виде с помощью компьютерной программы (пакета Mathematica 7.0). Отметим, что эта программа может быть адаптирована к аналогичным структурам, состоящим из большего числа слоев. Общая задача с произвольным числом барьеров и слоев может быть компактно записана с помощью произведения матриц \mathbf{M}_i , где i — число границ или точек разрыва потенциала (рис. 1). Таким образом,

решая матричное уравнение относительно амплитуды вероятности прошедшей волны, получаем

$$A_s^{P(AP)} = \frac{4m_1m_Wm_2m_R \exp[-i((L_1+L_2+W)k_{R,s}^\perp - Wk_{W,s}^\perp)] \rho_{1,s}^{P(AP)} \rho_{2,s}^{P(AP)} k_{L,s}^\perp k_{W,s}^\perp}{Z_{1,s}^{P(AP)} + Z_{2,s}^{P(AP)}}, \quad (13)$$

где

$$Z_1 = [m_1k_L(im_1\alpha_1k_W + m_W\gamma_1) + m_L(m_1\beta_1k_W + im_W\chi_1)] \times [m_2k_R(im_2\alpha_2k_W + m_W\gamma_2) + m_R(m_2\beta_2k_W + im_W\chi_2)], \quad (14)$$

$$Z_2 = [m_1k_L(m_1\alpha_1k_W + im_W\gamma_1) - m_L(m_W\chi_1 + im_1\beta_1k_W)] [m_2k_R(m_2\alpha_2k_W + im_W\gamma_2) - m_R(m_W\chi_2 + im_2\beta_2k_W)] \exp[2iWk_W]. \quad (15)$$

В формулах (14), (15) индексы P, AP, s и \perp для простоты не указаны. Кроме того, в формулах (13–15) используются следующие обозначения:

$$\begin{aligned} \alpha_{1(2)} &= \text{Ai}(-q_{2(4)})\text{Bi}(-q_{1(3)}) - \text{Ai}(-q_{1(3)})\text{Bi}(-q_{2(4)}), \\ \beta_{1(2)} &= T_{1(2)}[\text{Ai}'(-q_{1(4)})\text{Bi}(-q_{2(3)}) - \text{Ai}(-q_{2(3)})\text{Bi}'(-q_{1(4)})], \\ \gamma_{1(2)} &= T_{1(2)}[\text{Ai}'(-q_{2(3)})\text{Bi}(-q_{1(4)}) - \text{Ai}(-q_{1(4)})\text{Bi}'(-q_{2(3)})], \\ \rho_{1(2)} &= T_{1(2)}[\text{Ai}'(-q_{2(4)})\text{Bi}(-q_{2(4)}) - \text{Ai}(-q_{2(4)})\text{Bi}'(-q_{2(4)})], \\ \chi_{1(2)} &= T_1T_2[\text{Ai}'(-q_{2(4)})\text{Bi}'(-q_{1(3)}) - \text{Ai}'(-q_{1(3)})\text{Bi}'(-q_{2(4)})], \end{aligned} \quad (16)$$

где $\text{Ai}(-q_i)$ и $\text{Bi}(-q_i)$ — функции Эйри, а $\text{Ai}'(-q_i)$ и $\text{Bi}'(-q_i)$ — их первые производные. Индекс i пробегает значения от $i = 1$ для левых граничных условий на интерфейсе до $i = 4$ для правых граничных условий. Аргументы q_i функций Эйри зависят от параметров ДБМТК следующим образом:

$$\begin{aligned} q_i &= T_1z_{L1}, \\ q_2 &= T_1(L_1 + z_{L1}), \\ q_3 &= T_2(L_1 + W + z_{L2}), \\ q_4 &= T_2(L_1 + W + L_2 + z_{L2}). \end{aligned} \quad (17)$$

Величины $T_{1(2)}$ и $z_{L1(2)}$ в формуле (17) имеют вид

$$T_{1(2)} = \left(\frac{c_{1(2)}V_{a1(2)}}{L_{1(2)}} \right)^{1/3}, \quad (18)$$

$$z_{L1} = \frac{(k_F^L)^2 - c_L u_1}{c_L V_{a1}} L_1, \quad (19)$$

$$z_{L2} = \frac{(k_F^W)^2 - c_W u_2}{c_W V_{a2}} L_2 + L_2 - L_1 - W, \quad (20)$$

где $c_{1(2)} = 2m_{1(2)}e/\hbar^2$ и $c_{L(W)} = 2m_{L(W)}e/\hbar^2$ — размерные множители, $u_{1(2)} = (E_F + U_{1(2)})/e$ — потенциалы барьеров.

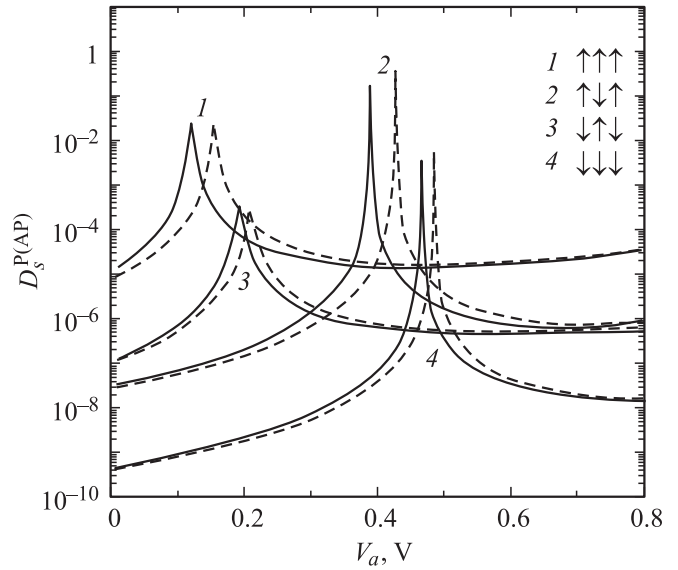


Рис. 2. Зависимости коэффициентов прохождения от приложенного напряжения для четырех спиновых каналов проводимости (обозначены цифрами и стрелками) ДБМТК и при углах подлета электрона к первому барьеру: $\theta_{L,s} = 0$ (сплошные) и 5° (штриховые линии).

Вычисление зависимостей коэффициента прохождения (12) от приложенного напряжения V_a было выполнено при следующих параметрах. Значения волновых векторов $k_{F,s}^L$ для электронов спиновых подзон были приняты равными $k_{F,\uparrow}^{L(R)} = 0.85 \text{ \AA}^{-1}$, $k_{F,\downarrow}^{L(R)} = 0.6 \text{ \AA}^{-1}$ и $k_{F,\uparrow}^W = 1.03 \text{ \AA}^{-1}$, $k_{F,\downarrow}^W = 0.9 \text{ \AA}^{-1}$. Энергия Ферми E_F определялась значениями волновых векторов левого FM-слоя: $E_F = (k_{F,\uparrow}^L)^2 + (k_{F,\downarrow}^L)^2/2c_L$. Эффективные массы электронов проводимости в FM-слоях соответствовали массе свободного электрона m_e . Два диэлектрических оксидных слоя имели поперечные размеры, сравнимые со средней длиной свободного пробега электрона проводимости. Их толщины, энергетические высоты потенциалов и эффективные массы электронов в барьерах были приняты равными $L_1 = L_2 = 12 \text{ \AA}$, $U_1 = U_2 = 2.4 \text{ eV}$ и $m_1 = m_2 = 0.4m_e$. Значения этих параметров соответствуют экспериментальным данным (см., например, [21]). Кроме того, отметим, что в численных расчетах использовались одинаковые параметры для левого и правого FM-электродов, входящие в выражение (12). Толщина среднего FM^W-слоя варьировалась в пределах от 5 до 150 \AA .

На рис. 2 приведены зависимости коэффициентов прохождения ДБМТК от приложенного напряжения при толщине среднего FM^W-слоя $W = 25.4 \text{ \AA}$. Зависимости представлены для двух значений углов падения электрона на первый барьер: $\theta_{L,s} = 0^\circ$ (сплошные) и 5° (штриховые линии).

Видно, что резонансные пики при некоторых значениях приложенного напряжения могут отличаться на семь порядков от наблюдаемых для плавных участков.

Увеличение угла $\theta_{L,s}$ на 5° и более смещает положение пиков в сторону больших напряжений. Исследование зависимостей $D_s^{\text{PAP}}(V_a, \theta_{L,s})$ показывает, что при больших углах $\theta_{L,s}$, когда еще возможно туннелирование электронов, значения коэффициентов прохождения становятся очень малыми по сравнению со случаем резонансных пиков, которые будут возникать при больших напряжениях, выходящих за интервал 0–0.8 В. Таким образом, ограничение по углу накладывает ограничение на величину коэффициента прохождения, что в свою очередь определяет значение туннельного спин-поляризованного тока. Кроме того, видно, что коэффициенты прохождения для спиновых каналов $\uparrow\uparrow\uparrow$ и $\uparrow\downarrow\uparrow$ (кривые 1 и 2) на два порядка больше, чем для спиновых каналов $\downarrow\uparrow\downarrow$, $\downarrow\downarrow\downarrow$ (кривые 3 и 4). Каждый спиновый канал проводимости имеет свое собственное резонансное условие, возникающее в FM^W слое. Перечисленные выше эффекты являются главной причиной высокого значения резонансного ТМС.

4. Резонансный туннельный спин-поляризованный ток ДБМТК

В работе [22] было показано, что выражение для спин-поляризованного тока может быть использовано для вычисления ТМС однобарьерного магнитного наноконтакта. В этом случае зависимость ТМС от V_a показала хорошее согласие с экспериментом. Воспользуемся формулой (1) работы [22] и заменим коэффициент прохождения в этой формуле на коэффициент прохождения для двухбарьерного магнитного наноконтакта. Таким образом, туннельный спин-поляризованный ток через ДБМТК для четырех спиновых каналов проводимости можно записать в виде

$$I_s^{\text{P(AP)}} = I_s^L \langle \cos \theta_{L,s} D_s^{\text{P(AP)}}(V_a, \cos \theta_{L,s}) \rangle, \quad (21)$$

где $I_s^L = \frac{e^2(k_{F,s}^L)^2 A V_a}{4\pi^2 \hbar}$ — спиновый ток в левом ферромагнетике, угловые скобки обозначают усреднение по углам φ и $\theta_{L,s}$. Полярный угол $\theta_{L,s}$ определяет траекторию движения электрона в левом электроде по направлению к первому барьеру. Угол φ лежит в плоскости контакта. Усреднение по углам в (21) означает интегрирование

$$\langle \dots \rangle = \frac{1}{2\pi} \int_0^{\theta_{\text{cr}}} \sin(\theta_{L,s}) d\theta_{L,s} \int_0^{2\pi} d\varphi (\dots), \quad (22)$$

где θ_{cr} — критический угол, который определяется законом сохранения (6) продольных компонент фермиевских волновых векторов на каждой границе барьеров.

Результаты расчета зависимостей туннельных спин-поляризованных токов от напряжения показаны на рис. 3. Видно, что туннельные токи спиновых каналов $\uparrow\uparrow\uparrow$ и $\uparrow\downarrow\uparrow$ (кривые 1 и 2) на два порядка больше, чем

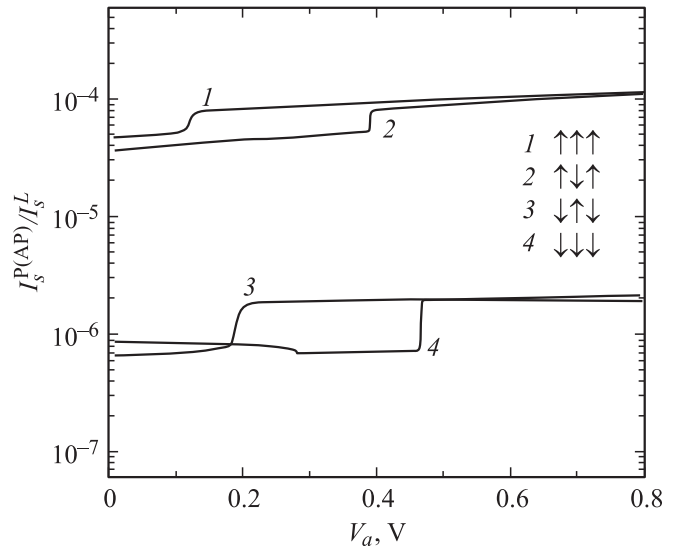


Рис. 3. Зависимости туннельных спиновых токов от приложенного к ДБМТК напряжения для четырех спиновых каналов проводимости (обозначены цифрами и стрелками). Значения параметров, при которых были получены кривые, соответствуют рис. 2.

значения туннельных токов спиновых каналов $\downarrow\uparrow\downarrow$, $\downarrow\downarrow\downarrow$ (кривые 3 и 4). Это иллюстрирует тот факт, что некоторые режимы работы ДБМТК могут быть использованы для эффекта спиновой фильтрации токов.

Все зависимости $I_s^{\text{P(AP)}}(V_a)$ имеют одну ступеньку при определенных напряжениях и фиксированных параметрах ДБМТК. Значения этих напряжений соответствуют положению резонансных пиков на рис. 2. Если увеличить толщину W среднего FM^W -слоя (например, до 150 Å), то число ступенек на зависимостях $I_s^{\text{P(AP)}}(V_a)$ возрастет. В этом случае зависимости $I_s^{\text{P(AP)}}(V_a)$ похожи на графики квантования проводимостей, наблюдаемые в экспериментах на полупроводниковых структурах.

Качественное объяснение характеристик, показанных на рис. 3, можно дать, основываясь на энергетической структуре FM^W -слоя. Она представляет собой систему локальных уровней размерного квантования, которой можно сопоставить систему спин-поляризованных каналов проводимости. Повышение тока после включения напряжения связано с заполнением нижнего уровня в FM^W -слое, который лежит ниже уровня Ферми в FM^L -слое, и последующим туннелированием через второй барьер в FM^R -слой. При дальнейшем увеличении напряжения уровни в FM^W -слое двигаются вниз относительно уровня Ферми. Как только незаселенный второй уровень поравняется с уровнем Ферми, электроны начнут резонансным образом туннелировать из FM^L -слоя в FM^R -слой, используя второй уровень для временного пребывания в FM^W -слое. Это приводит к резкому возрастанию туннельного тока. Далее картина повторяется для следующего уровня в FM^W -слое; в результате возникает система ступенек с изменением напряжения.

5. Резонансное туннельное магнитосопротивление ДБМТК

Рассмотрим теперь функциональную зависимость ТМС от падения напряжения на ДБМТК и изменение ее вида в зависимости от коэрцитивности FM-слоев. Для этого введем параметры δ_L , δ_W , δ_R , которые характеризуют спиновую поляризацию подзон проводимости FM-слоев. Они определяются как отношения волновых векторов: $\delta_L = k_{F,\downarrow}^L/k_{L,\uparrow}^L$, $\delta_W = k_{F,\downarrow}^W/k_{L,\uparrow}^W$, $\delta_R = k_{F,\downarrow}^R/k_{L,\uparrow}^R$. Туннельное магнитосопротивление определяется формулой

$$\text{TMR} = \frac{I^P - I^{AP}}{I^{AP}} \cdot 100\%, \quad (23)$$

где $I^{P(AP)} = I_{\uparrow}^{P(AP)} + I_{\downarrow}^{P(AP)}$.

Расчет (23) показывает, что зависимость ТМС от V_a , например, при $\delta_{L(R)} = 0.70$ и $\delta_W = 0.87$ имеет скошенный П-образный вид (рис. 4). При этом другие параметры ДБМТК оставались такими же, как при получении характеристик, приведенных на рис. 2 и 3. Величина ТМС, достигая 80%, спадает, и зависимость приобретает ступенчатый характер при увеличении параметров δ_L , δ_R относительно δ_W , минимальное значение ТМС наблюдается в случае $\delta_L = \delta_W = \delta_R$. Отметим, что увеличение параметров δ_L , δ_W , δ_R до единицы означает уменьшение поляризации, т. е. различия между спиновыми подзонами проводимости в FM-слоях. В пределе $\delta_L = \delta_W = \delta_R = 1$ FM-слои становятся нормальными металлами, при этом ТМС обращается в нуль.

Сравнение рис. 2 и 4 показывает, что начало П-образной ступеньки ТМС при $V_a \approx 0.1$ В совпадает с положением первого резонансного пика на рис. 2 при Р-ориентации намагниченности всех FM-слоев. Задний фронт П-образной ступеньки ТМС при $V_a \approx 0.4$ В соответствует второму резонансному пику на рис. 2 при

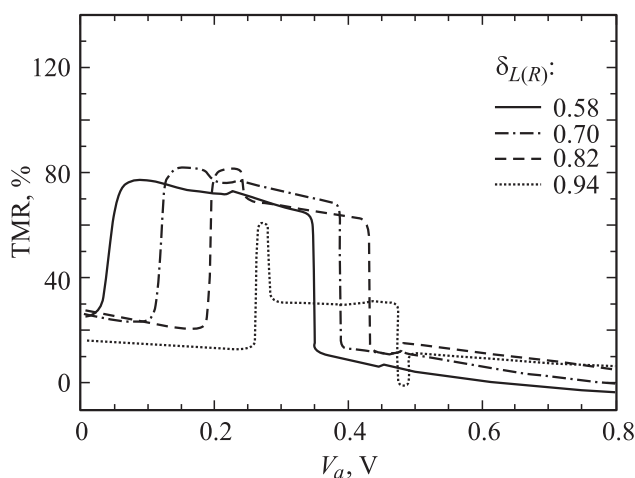


Рис. 4. Зависимость ТМС от приложенного к ДБМТК напряжения при толщине среднего слоя $W = 25.4$ Å, различных спиновых поляризациях подзон $\delta_L = \delta_R$ и $\delta_W = 0.87$. Значения других параметров соответствуют рис. 3.

AP-ориентации намагниченности FM-слоев. Это свидетельствует о том, что происхождение П-образных ступенек при данных параметрах ДБМТК и толщине среднего слоя $W = 25.4$ Å связано с резонансным характером туннелирования электронов.

П-образная вершина проявляется на фоне общей монотонной зависимости ТМС, которая при малых напряжениях имеет максимальное значение $\sim 30\%$. Эта зависимость ТМС соответствует туннелированию электронов через ДБМТК без резонанса. Более подробно этот случай обсудим в следующем разделе, а здесь отметим, что при значениях $U_{1(2)} \sim 2$ eV нерезонансная часть ТМС обусловлена последовательным туннелированием электронов через барьеры. При этом, как показано на рис. 2, $D_s^{P(AP)}$ на некоторых участках зависимости от V_a могут принимать очень малые значения для каждого спинового канала, но зависимости существенно отличаются друг от друга. Это приводит к большому различию вольт-амперных характеристик ДБМТК при Р- и AP-ориентациях намагниченности FM-слоев. Поэтому монотонная часть ТМС может принимать достаточно большие (от 100 до 1000%) значения.

Итак, расчеты показывают ступенчатую зависимость ТМС, которая обусловлена резонансным туннелированием электронов проводимости через ДБМТК. Вид ТМС существенно зависит от толщины W среднего FM^W-слоя и спиновых поляризаций подзон FM-слоев: δ_L , δ_W , δ_R . П-образная форма кривой ТМС возможна только для некоторых конкретных значений толщины (в нашем случае $W \approx 25.4$ Å) FM^W-слоя и конкретных значений δ_L , δ_W , δ_R (рис. 4). При других значениях толщин FM^W-слоя, например $W \approx 100$ Å, на фоне плавной спадающей зависимости ТМС появляются четыре П-образные вершины в соответствии с числом резонансных спин-поляризованных пиков, возникающих на зависимости коэффициента прохождения от V_a . Монотонная зависимость в области ТМС $\approx 30\%$ обусловлена последовательным туннелированием электронов через ДБМТК.

6. Сравнение с экспериментом

Результаты расчетов по определению ТМС сравним с экспериментальными данными, приведенными в работе [5], где исследовались транспортные свойства ДБМТК, состоящего из слоев CoFeB/MgO/CoFeB/MgO/CoFeB. К внешним слоям CoFeB (3 nm) были добавлены слои Ru (0.8 nm) и CoFe (2.5 nm), намагниченность которых закреплялась слоем пиннинга PtMn толщиной 10–15 nm. В скобках указаны толщины соответствующих слоев. Использование Mn в слое пиннинга PtMn привело к быстрому переключению намагниченности в среднем слое.

Авторы работы [5] исследовали зависимость ТМС от температуры отжига образцов ДБМТК и толщины t среднего слоя CoFeB(t), которая изменялась от 0.8 до 2.5 nm. Было показано, что ТМС в зависимости

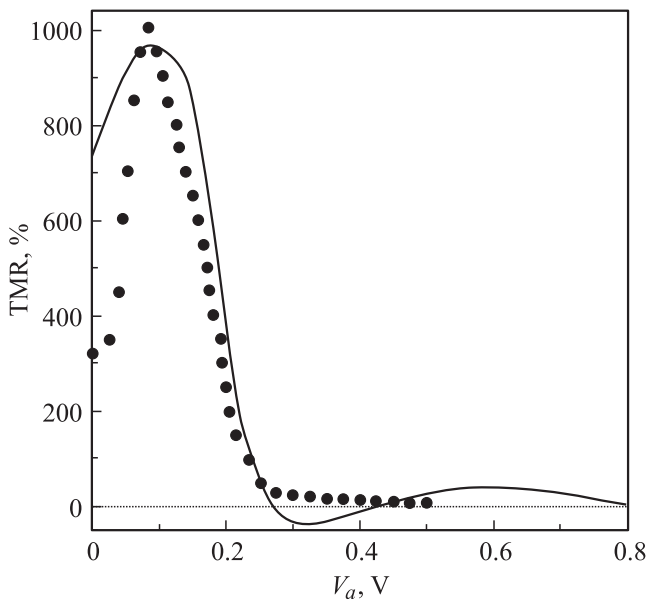


Рис. 5. Теоретическая зависимость ТМС от приложенного напряжения в случае нерезонансного туннелирования электронов ДБМТК при толщине среднего слоя $W = 12 \text{ \AA}$ (сплошная линия) и экспериментальная зависимость ТМС [5] (точки).

от V_a принимает максимальное значение порядка 1056%, когда образец изготовлен при относительно низкой температуре отжига $T_a = 350^\circ\text{C}$ и толщине среднего слоя $t = 1.2 \text{ nm}$.

Для того чтобы получить аналогичную зависимость ТМС от V_a , мы исследовали туннельные характеристики ДБМТК, придерживаясь тех же параметров, которые использовались в предыдущих разделах. Критерием для нахождения соответствующих параметров ДБМТК в нашей модели была подгонка теоретической зависимости ТМС к экспериментальной кривой, приведенной на рис. 3,г в [5]. Наилучшее совпадение (рис. 5) возникает при следующих параметрах: $m_{L,W,R} = 0.8m_e$, $m_{1,2} = 0.4m_e$, $U_1 = U_2 = 1.02 \text{ eV}$, $L_1 = L_2 = 27.5 \text{ \AA}$, $\delta_L = \delta_R = 0.91$, $\delta_W = 0.99$. При этом толщина среднего FM^W -слоя принималась равной $W = 12 \text{ \AA}$. Основное влияние на кривую ТМС в этом случае оказывают величины толщин барьеров L_1 , L_2 и спиновая поляризация подзон проводимости в FM^W -слое.

При сравнении двух кривых ТМС (рис. 5) и анализе параметров можно прийти к выводу, что экспериментальная зависимость (точки) соответствует нерезонансному случаю прохождения электронов ДБМТК. В этом случае туннелирование электронов связано с дифракцией волн де Бройля на границах энергетических барьеров для каждого спинового канала проводимости. Узких спин-поляризованных уровней в среднем FM^W -слое нет, они размываются в полосы (возникают квазистационарные состояния), и электрон проводимости проходит ДБМТК над энергетическими барьерами. Однако различие между спиновыми каналами проводимости при

малых напряжениях остается большим. Это и приводит к огромным значениям ТМС $\sim 1000\%$.

7. Заключение

Итак, в работе получены и исследованы резонансные и нерезонансные туннельные характеристики ДБМТК. Основываясь на двухзонной модели энергетического спектра ферромагнитного металла, мы использовали квазиклассическое приближение при выводе туннельного тока через ДБМТК и вместе с условиями квантования спиновых каналов проводимости рассчитали его характеристики: туннельный спин-поляризованный ток и ТМС. Коэффициент прохождения туннельных барьеров вычислялся с использованием квантово-механических представлений и закона сохранения компонент фермиевского импульса. Было изучено влияние углов подлета электрона к границе FM/I и поляризации спиновых подзон FM -слоев на зависимость коэффициентов прохождения от приложенного напряжения. Показано, что с помощью ДБМТК могут быть получены высокие значения спин-поляризованных туннельных токов, которые возникают даже при относительно больших толщинах диэлектрических слоев. Кроме того, показано, что в резонансных условиях ТМС при определенных напряжениях может скачком увеличиваться на 50% и так же быстро спадать. В нерезонансных условиях предложенная модель ТМС качественно объясняет экспериментально наблюдаемые необычно высокие ($\sim 1000\%$) значения ТМС.

Автор благодарен Л. Тагирову за обсуждение результатов.

Список литературы

- [1] Z.M. Zeng, Y. Wang, X.F. Han, W.S. Zhan, Z. Zhang. *Eur. Phys. J. B* **52**, 205 (2006).
- [2] T. Nozaki, N. Tezuka, K. Inomata. *Phys. Rev. Lett.* **96**, 027 208 (2006).
- [3] C. Tiusan, F. Greullet, M. Hehn, F. Montaigne, S. Andrieu, A. Schuhl. *J. Phys.: Cond. Matter.* **19**, 165 201 (2007).
- [4] A. Iovan, S. Andersson, Yu.G. Naidyuk, A. Vedyayev, B. Dieny, V. Korenivski. *Nano Lett.* **8**, 805 (2008).
- [5] L. Jiang, H. Naganuma, M. Oogane, Y. Ando. *Appl. Phys. Express* **2**, 083 002 (2009).
- [6] D. Herranz, F.G. Aliev, C. Tiusan, M. Hehn, V.K. Dugaev, J. Barnas. *Phys. Rev. Lett.* **105**, 047 207 (2010).
- [7] A.B. Ведаев. *УФН* **172**, 1458 (2002).
- [8] M. Chshiev, D. Stoeffler, A. Vedyayev, K. Ounadjela. *Europhys. Lett.* **58**, 257 (2002).
- [9] T. Uemura, S. Honma, T. Marukame, M. Yamamoto. *Jpn. J. Appl. Phys.* **43**, L44 (2004).
- [10] A. Iovan, D.B. Haviland, V. Korenivski. *Appl. Phys. Lett.* **88**, 163 503 (2006).
- [11] S. Ikegawa, Y. Asao, Y. Saito, S. Takahashi, T. Kai, K. Tsuchida, H. Yoda. *Jpn. J. Appl. Phys.* **42**, L745 (2003).

- [12] C. Chappert, A. Fert, F. Nguyen Van Dau. *Nature Mater.* **6**, 813 (2007).
- [13] X. Zhang, B. Li, G. Sun, F. Pu. *Phys. Rev. B* **56**, 5484 (1997).
- [14] T. Kishi, K. Inomata. *J. Magn. Soc. Jpn.* **23**, 1273 (1999).
- [15] M. Wilczynski, J. Barnas. *J. Magn. Magn. Mater.* **221**, 373 (2000).
- [16] W. Rudzinski, J. Barnas. *Phys. Rev. B* **64**, 085318 (2001).
- [17] A. Vedyayev, N. Ryzhanova, R. Vlutters, B. Dieny, N. Strelkov. *J. Phys.: Cond. Matter.* **12**, 1797 (2000).
- [18] В.П. Драгунов, И.Г. Неизвестный, В.А. Гридчин. *Физмат-книга, М.* (2006). 496 с.
- [19] L.R. Tagirov, B.P. Vodopyanov, K.B. Efetov. *Phys. Rev. B* **63**, 104468 (2001).
- [20] I.A. Campbell, A. Fert, A.R. Pomeroy. *Phil. Mag.* **15**, 977 (1967).
- [21] J. Faure-Vincent, C. Tiusan, C. Bellouard, E. Popova, M. Hehn, F. Montaigne, A. Schuhl. *Phys. Rev. Lett.* **89**, 107206 (2002).
- [22] A.N. Useinov, R.G. Deminov, N.Kh. Useinov, L.R. Tagirov. *Phys. Status Solidi B* **247**, 1797 (2010).